

This airborne geophysical survey and the production of this map were funded by the Saskatchewan Ministry of Energy and Resources and the GEM-Energy Program of the Earth Sciences Sector, Natural Resources Canada.

Le levé géophysique aéroporté et la production de cette carte ont été financés par le ministère de l'Énergie et des Ressources de la Saskatchewan et le programme GEM-Energie du Secteur des sciences de la Terre, Ressources naturelles Canada.



MAP LOCATION / LOCALISATION DE LA CARTE

Authors: Fortin, R., Coyle, M., Buckle, J., Hefford, S.W. and Delaney, G.

Auteurs: Fortin, R., Coyle, M., Buckle, J., Hefford, S.W. et Delaney, G.

Data acquisition, compilation and map production by Goklak Airborne Surveys, Saskatoon, Saskatchewan. Contact and project management by the Geological Survey of Canada, Ottawa, Ontario.

L'acquisition, la compilation des données ainsi que la production des cartes furent effectuées par Goklak Airborne Surveys, Saskatoon, Saskatchewan. La gestion et la supervision du projet furent effectuées par la Commission géologique du Canada, Ottawa, Ontario.

GSC OPEN FILE 6778 / DOSSIER PUBLIC 6778 DE LA CGC / SMER OPEN FILE 2011-13

GEOPHYSICAL SERIES / SÉRIE DES CARTES GÉOPHYSIQUES / AIRBORNE GEOPHYSICAL SURVEY OF THE NORTHWESTERN ATHABASCA BASIN, SASKATCHEWAN / LEVÉ GÉOPHYSIQUE AÉROPORTÉ DE LA PARTIE NORD-OUEST DU BASSIN ATHABASCA, SASKATCHEWAN

NTS 74 J/05 Snare Lake / SMRC 74 J/05 Snare Lake

TERNARY RADIOELEMENT MAP / DIAGRAMME TERNAIRE DES RADIOÉLÉMENTS

Scale 1:50 000 - Échelle 1/50 000

Universal Transverse Mercator Projection / Projection transverse universelle de Mercator

NORTHWESTERN ATHABASCA BASIN GEOPHYSICAL SURVEY, SASKATCHEWAN

Introduction: A quantitative gamma-ray spectrometric and aeromagnetic airborne geophysical survey of the Northwest Athabasca Basin, Saskatchewan, was completed by Goklak Airborne Surveys. The survey was flown from June 24th to September 21st, 2010 using two Piper PA-31 Navajo aircraft (C-GJBA, C-GJBB) and one Cessna Caravan (C-GLDX).

Gamma-ray Spectrometric Data: The airborne gamma-ray measurements were made with a Radiation Solutions RS-500 gamma-ray spectrometers using fourteen 102x102x406 mm NaI (Tl) crystals. The main detector array consisted of twelve crystals (total volume 50.4 litres). Two crystals (total volume 8.4 litres), shielded by the main array, were used to detect variations in background radiation caused by atmospheric radon.

Potassium is measured directly from the 1460 keV gamma-ray photons emitted by K⁴⁰, whereas uranium and thorium are measured indirectly from gamma-ray photons emitted by daughter products (Bi²¹⁴ for uranium and Tl²⁰⁸ for thorium). Although these daughters are far down their respective decay chains, they are assumed to be in equilibrium with their parents.

Table 1. Gamma Ray Spectrometer Sensitivities for each aircraft. Table with 3 columns: Element, C-GJBA, C-GJBB, C-GLDX.

Corrected data were filtered and interpolated to a 100 m grid interval. The results of an airborne gamma-ray spectrometer survey represent the average surface concentrations that are influenced by varying amounts of outcrop, overburden, vegetation cover, soil moisture and surface water.

Magnetic Data: The magnetic field was sampled 10 times per second using a split-beam cesium vapour magnetometer (sensitivity = 0.005 nT) rigidly mounted to the aircraft. Differences in magnetic values at the intersections of control and survey lines were computed to obtain a mutually levelled set of flight line magnetic data.

The first vertical derivative of the magnetic field is the rate of change of the magnetic field in the vertical direction. Computation of the first vertical derivative removes low wavelength features of the magnetic field and significantly improves the response of closely spaced and superposed anomalies.

LEVÉ GÉOPHYSIQUE DE LA PARTIE NORD-OUEST DU BASSIN ATHABASCA, SASKATCHEWAN

Introduction: Un levé géophysique aéroporté combinant l'acquisition de données de spectrométrie gamma et de données magnétique a été réalisé dans la partie nord-ouest du bassin de l'Athabasca en Saskatchewan par la société Goklak Airborne Surveys. Le levé a été effectué du 24 juin au 21 septembre 2010, à bord de deux avions Piper PA-31 Navajo (C-GJBA, C-GJBB) et un Cessna Caravan (C-GLDX).

Données de spectrométrie gamma: Les mesures du rayonnement gamma ont été effectuées à l'aide d'un spectromètre gamma Radiation Solutions RS-500 utilisant quatorze cristaux de NaI (Tl) de 102x102x406 mm. Le réseau de capteurs principal se composait de douze cristaux (volume total de 50,4 litres). Deux cristaux (volume total de 8,4 litres), protégés par le réseau principal, ont été utilisés pour détecter les variations du rayonnement naturel causées par le radon atmosphérique.

Le potassium est mesuré directement depuis les photons gamma de 1460 keV émis par le K⁴⁰, tandis que l'uranium et le thorium sont mesurés indirectement d'après les photons gamma émis par des produits de fission (Bi²¹⁴ pour l'uranium et Tl²⁰⁸ pour le thorium). Bien que ces radionucléides de fission se trouvent loin dans leurs chaînes de désintégration, on presume qu'ils sont en équilibre avec leur radionucléide père.

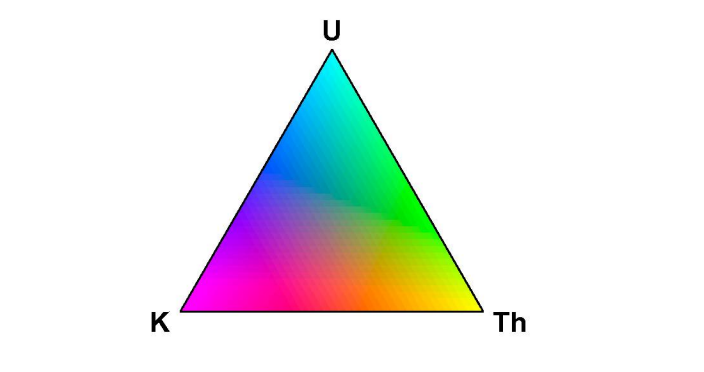
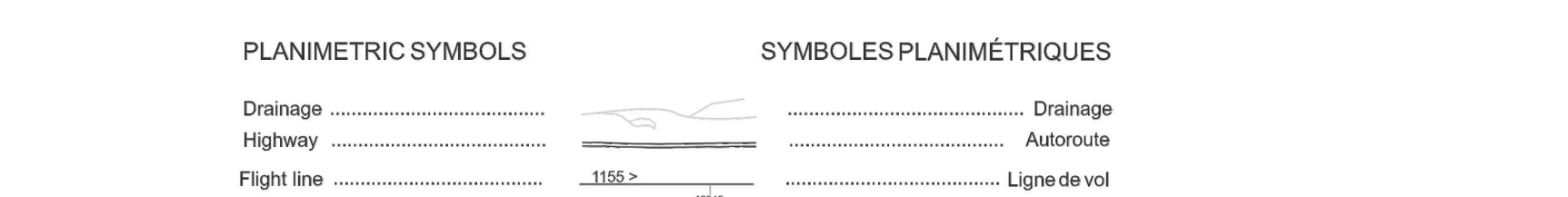
Les spectres du rayonnement gamma ont été enregistrés à intervalle d'une seconde. Le traitement des données a suivi les procédures standards décrites dans IAEA, 1991 et IAEA, 2003. Pendant le traitement, les spectres ont été soumis à un étalonnage énergétique et les coups ont été cumulés dans les plages décrites ci-dessus. Les coups obtenus à l'aide des capteurs de radon ont été enregistrés dans la plage de 1 600 à 1 900 keV et le rayonnement à des énergies supérieures à 1 000 keV a été enregistré dans la plage du rayonnement cosmique.

Tableau 1. Sensibilités des spectromètres de chacun des avions. Table with 3 columns: Élément, C-GJBA, C-GJBB, C-GLDX.

Les résultats d'un levé aéroporté de spectrométrie gamma représentent les concentrations moyennes à la surface. Celles-ci sont influencées par les étendues variables des affleurements, des reliefs, de la couverture végétale et de l'eau de surface. Par conséquent, les concentrations mesurées sont habituellement plus faibles que les concentrations réelles dans le substratum rocheux.

Données sur le champ magnétique: Le champ magnétique a été échantillonné 10 fois par seconde à l'aide d'un magnétomètre à vapeur de césium à faisceau partagé (sensibilité = 0,005 nT) rigidement fixé à l'avion. Les différences de valeur du champ magnétique aux intersections des lignes de contrôle et des lignes de levé ont été analysées afin d'obtenir un ensemble de données sur le champ magnétique mutuellement nivelées sur les lignes de vol.

La dérivée première verticale du champ magnétique représente le taux auquel varie le champ magnétique suivant la verticale. Le calcul de la dérivée première verticale supprime les composantes de grande longueur d'onde du champ magnétique et améliore considérablement la résolution des anomalies rapprochées les unes des autres ou superposées.



MAP SHEET SUMMARY / SOMMAIRE DES FEUILLETS

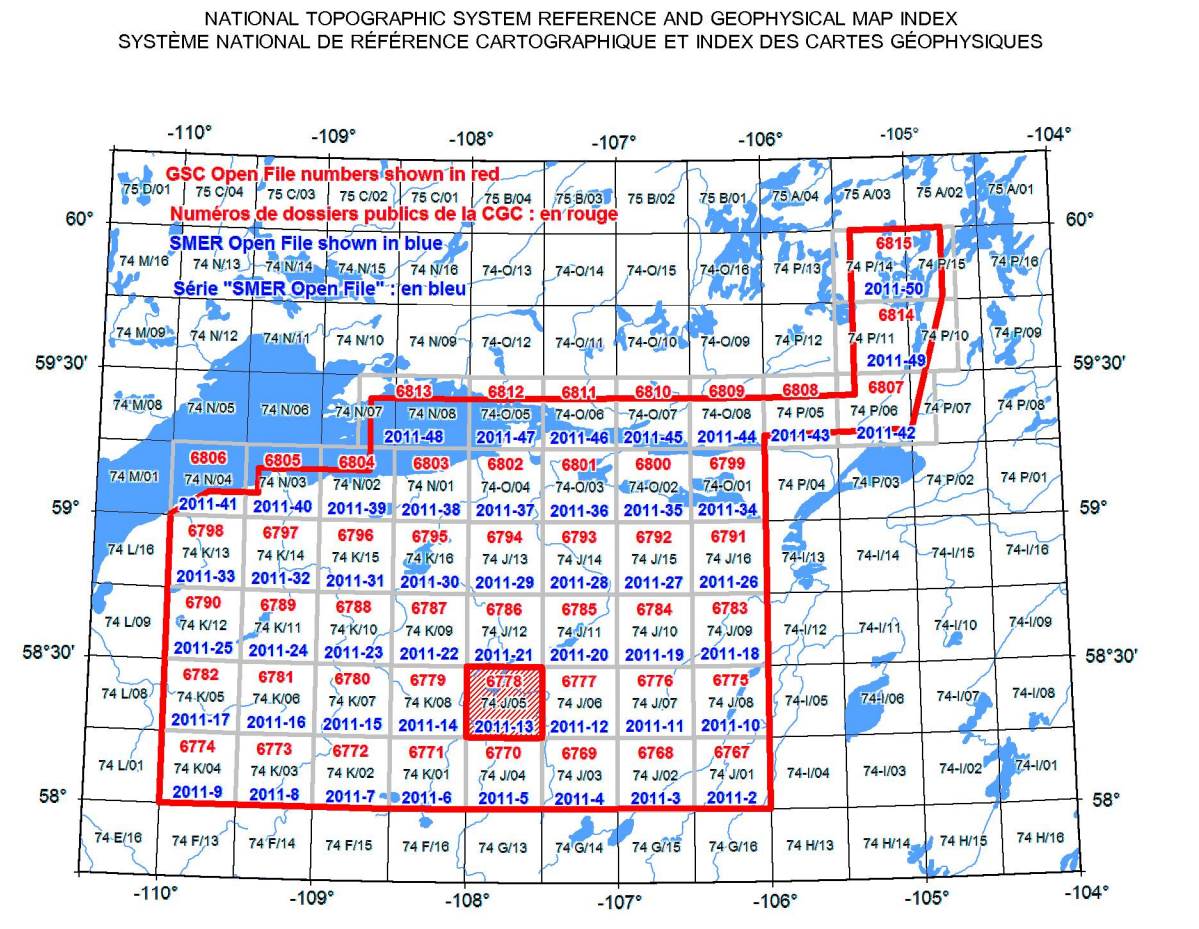
Table listing map sheets with columns: Sheet, Feuille, MAP / CARTE, and description of content.

OPEN FILE 2011-13

SASKATCHEWAN MINISTRY OF ENERGY AND RESOURCES / 2011 SHEET 8 OF 10 / FEUILLET 8 DE 10

OPEN FILE DOSSIER PUBLIC 6778

SHEET 8 OF 10 / FEUILLET 8 DE 10



ARBORNE GEOPHYSICAL SURVEY OF THE NORTHWESTERN ATHABASCA BASIN, SASKATCHEWAN / LEVÉ GÉOPHYSIQUE AÉROPORTÉ DE LA PARTIE NORD-OUEST DU BASSIN ATHABASCA, SASKATCHEWAN

Recommended citation: Fortin, R., Coyle, M., Buckle, J., Hefford, S. and Delaney, G., 2011. Geophysical Series, Airborne Geophysical Survey of the Northwestern Athabasca Basin, Saskatchewan, NTS 74 J/05, Snare Lake. Geological Survey of Canada, Open File 6778. Saskatchewan Ministry of Energy and Resources (SMER), Open File 2011-13; scale 1:50 000.